

RF Measurement of Split-Coaxial RFQ Structure

Yuko Katayama, Hidekuni Takekoshi
Institute for Chemical Research, Kyoto University

Abstract

The split-coaxial RFQ structure¹⁾ was studied. The resonant frequencies and the rf quadrupole field were measured using a full scale model. A buncher for 20 keV protons was designed.

1. 原理

GSI-フランツフルト大学で開発が進められているsplit coaxial RFQは2つの $\lambda/4$ 同軸共振器のそれぞれの内軸を分割し、一方の共振器を 90° 回転させ、互にかけ合せた構造で、2つの共振器の振動の位相差が 180° の場合は中心軸に沿っては同一様の4重極電界が得られる。

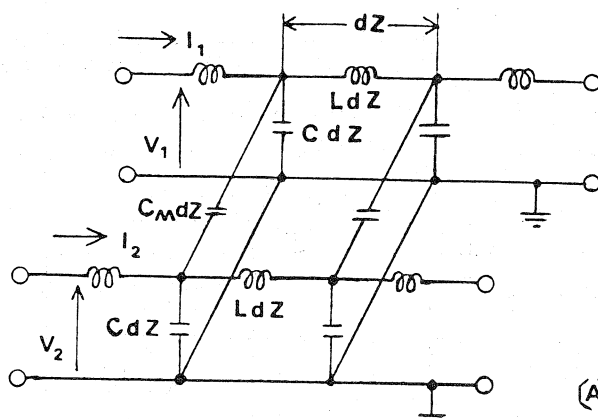


Fig. 1. Coupling of two transmission lines

Fig. 1に示されるよう互に結合した同形の2本の路線上と伝播する電波の電圧、電流 V_1, I_1, V_2, I_2 はマトリックス表示によると、

$$\frac{d}{dz} \begin{bmatrix} V_1 \\ I_1 \\ V_2 \\ I_2 \end{bmatrix} = (A) \begin{bmatrix} V_1 \\ I_1 \\ V_2 \\ I_2 \end{bmatrix}$$

で与えられる。 (A) は

$$(A) = \begin{bmatrix} 0 & -j\omega L & 0 & 0 \\ -j\omega(C+C_M) & 0 & j\omega C_M & 0 \\ 0 & 0 & 0 & -j\omega L \\ j\omega C_M & 0 & -j\omega(C+C_M) & 0 \end{bmatrix}$$

で与えられる。ここに C, C_M, L は、それぞれの路線上に分布する単位長さの容量、相互容量、誘導である。路線上と伝播する電波は $e^{-j\omega t}$ の因数とともに次の dispersion relation が得られる。 β は伝播常数で路線上での損失と無視されれば純虚数である。

$$\det [(A) + \beta^2 [1]] = 0$$

上の式を解くと

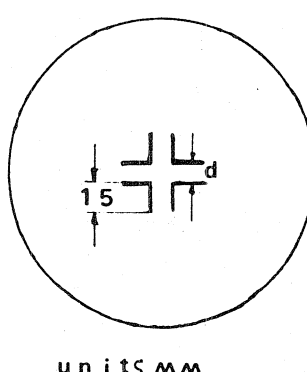
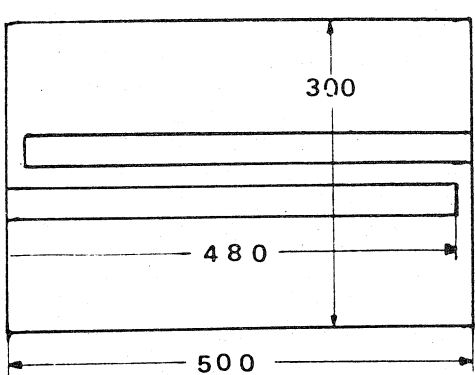
$$\omega^2 = \frac{\gamma^2 L (C + C_M \pm \sqrt{C^2 + 2CC_M})}{L^2 (C^2 + 2CC_M)}$$

が得られる。

$\omega_{\parallel}, \omega_{\perp}$ と同相および 180° 位相の共鳴周波数とすると、

$$\frac{\omega_{\parallel}^2}{\omega_1^2} = 1 + 2 \frac{C_M}{C}$$

が得られる。



units mm

Fig. 2. rf model of split coaxial RFQ

2. 共振周波数測定

Fig. 2 のモデルの電極間隔 d が 10 mm と 15 mm の場合の共振周波数と coupling の強さ C_m/C を Table 1 に示す。

d (mm)	ω_1	ω_{\parallel} (MHz)	C_m/C
10	52	226	8.8
15	61	215	5.7

C_m/C の比はかなり大きな値で

これは結合が強いことを表している。またこの測定より $\frac{C_{M10}}{C_{M15}} = 1.54$ が得られるが、これは C_m の容量計算から得られる値 1.5 によく一致しているので coupled transmission lines の計算が正しいことを示している。また空洞の長さと共振周波数が逆比例関係にあることも実験により確かめられた。

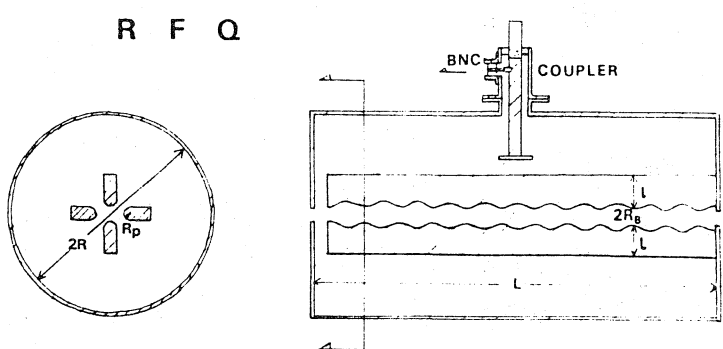
Table 1. Resonant frequencies and coupling strength.

3. 電場測定

20 keV の陽子用のバンチャーモデル空洞を製作した。空洞の諸元は Fig. 3 に示される。

このバンチャーの電圧分布は Fig. 4 に示されるビード法で測定した。

ビードは 0.1 mm 径の長さ 3.5 mm の銅線を 30 本束ねしたものである。バンチャーの中心軸上で電場分布は Fig. 3 の下のグラフに示される。電極は軸方向に沿



Injection: 20 KeV Proton
Ion Velocity: $\beta = 0.0067$
RF: 100 MHz
 $\beta \lambda$: 20 mm
Cavity: $R = 75$, $L = 300$
Electrode: $R_b = 5$, $R_p = 6$, $l = 25$
 (units: mm)

Fig. 3. RFQ buncher for 20 keV protons.

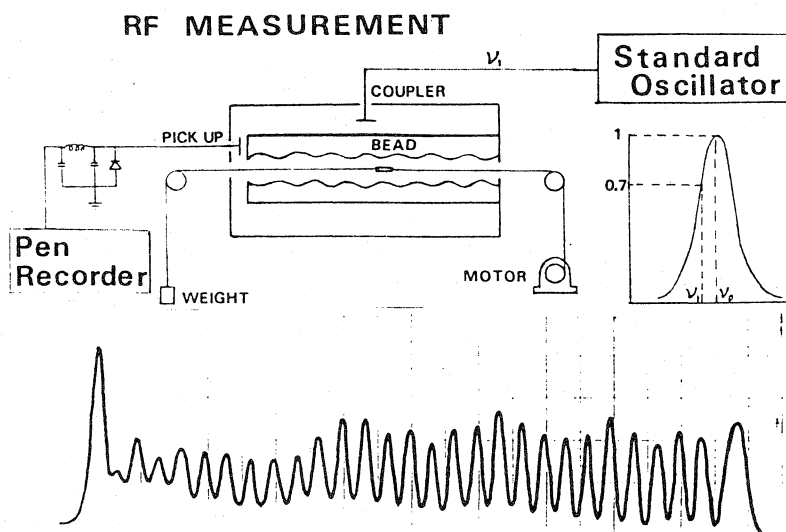


Fig. 4. Quadrupole field along central axis of buncher.

て細長いビーズを使う必要がある。

ここで 5 種類の大きさのモジュレーションが加工されている。千重壁電界とモジュレーションとの関係は現化解剖が進められていてある。split coaxial 形の RFQ において電流は電極表面において軸方向に流れるために電界分布を計算し求めるのはかなり難しいようと思われる。中心軸上には強い磁界が存在するので測定においても磁界の影響を受けないように軸に沿つ

Fig. 5 は空洞の高次の共振と電界分布を示す。この図では、 $\lambda/4$ の奇数倍の共振が示されている。共振は図中の2本の直線上に見られる。2本の直線の間の共振は例えば、split 1 に2本の電極が 180° の位相差で振動するモードである。この場合2本の電極と先端でシートすれば共振しないが、シートによると先端部が電流の腹になる間にモードが発生する。Fig. 3 の空洞と単位と1/2多數の空洞と並べることは出来るが、空洞間の結合が起こること非常に複雑な振動をおこす。空洞は各自独立にしておきたい。

4. 結論

split coaxial 形の RFQ は Vane⁽²⁾ 構造のものに較べて構造が簡単で製作が容易である。

電流の大部分は内軸の電極と流れるので外筒と大きくする必要はない（陽子用では $100 \sim 200$ mm である）。しかし内軸の軸方向に大電流が流れるので電界分布を計算で求めるのはかなり難い。以上に思われ、実験的に測定する必要がある。

我々は現在 split coaxial RFQ の RF 大電力試験の準備を進めている。

References

- 1) R. W. Müller et al., IEEE Trans. on Nuclear Science, vol. NS-28, No. 3, June 1981.
- 2) For example PIGMI project at Los Alamos.

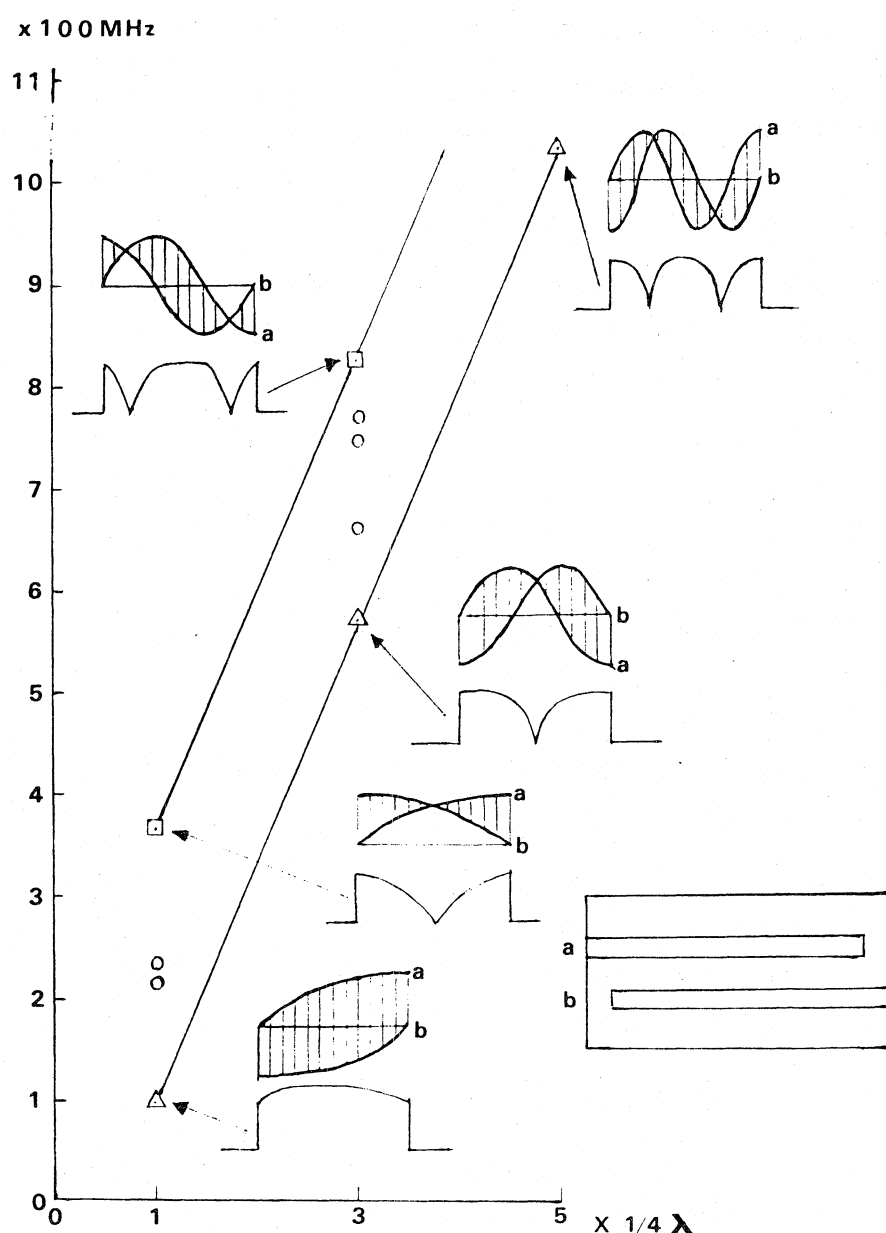


Fig. 5. Resonant frequencies of slit coaxial RFQ